

# Cálculo Numérico - Relatório EP2

João Rodrigo Windisch Olenski  
NUSP 10773224

Luca Rodrigues Miguel  
NUSP 10705655

Julho, 2020

## Conteúdo

<b>1</b>	<b>Introdução</b>	<b>2</b>
<b>2</b>	<b>Metodologia</b>	<b>2</b>
<b>3</b>	<b>Desenvolvimento matemático</b>	<b>2</b>
3.1	Método de Crank-Nicolson . . . . .	2
3.2	Decomposição de Cholesky . . . . .	3
3.3	Método dos Mínimos Quadrados . . . . .	5
<b>4</b>	<b>Estruturação do Código</b>	<b>5</b>
<b>5</b>	<b>Tarefas</b>	<b>6</b>
5.1	a) . . . . .	6
5.2	b) . . . . .	7
5.3	c) . . . . .	7
<b>6</b>	<b>Testes</b>	<b>8</b>
6.1	a) . . . . .	8
6.2	b) . . . . .	8
6.3	c) . . . . .	8
6.4	d) . . . . .	12
<b>7</b>	<b>Conclusões e considerações finais</b>	<b>18</b>
<b>A</b>	<b>Resultados de todos os testes rodados</b>	<b>19</b>
A.1	Teste A . . . . .	19
A.2	Teste B . . . . .	19
A.3	Teste C . . . . .	19
A.4	Teste D . . . . .	20

# 1 Introdução

Este exercício se propõe a resolver o problema inverso para a obtenção de uma distribuição de temperaturas a partir da equação do calor, aplicando para tanto o Método de Crank-Nicolson e o Método dos Mínimos Quadrados. A metodologia da solução está ilustrada na Seção 2, e os conceitos necessários para compreendê-la são expostos na Seção 3, "Desenvolvimento Matemático". Há uma explicação sobre a estruturação do código bem como convenções aplicadas na Seção 4, enquanto que a análise das Tarefas e Testes solicitados encontram-se, respectivamente, nas Seções 5 e 6. Por fim, as conclusões e comentários finais são expostos na Seção 7. Há, ainda, um apêndice em anexo contendo os resultados de todos os testes requisitados.

# 2 Metodologia

Inicialmente, é dado um conjunto de pontos em cada qual há uma fonte pontual, cuja função é dada, juntamente com as condições iniciais da barra. A partir destas informações, utilizando o método de Crank-Nicolson, é possível determinar a distribuição das temperaturas ao longo da barra. Feito isso, monta-se a matriz e o sistema normal, a serem resolvidos pelo Método dos Mínimos Quadrados. Pela linearidade das equações, a solução será uma combinação linear das soluções caso cada fonte pontual fosse única. Aproveitando-se o fato de que a matriz quadrada do sistema normal é simétrica, resolve-se o sistema linear por meio da Decomposição de Cholesky, e, a partir da matriz decomposta, torna-se fácil resolver o sistema linear de forma a encontrar os coeficientes de intensidade de cada fonte pontual.

# 3 Desenvolvimento matemático

## 3.1 Método de Crank-Nicolson

Como já explicado anteriormente, neste exercício-programa o Método de Crank-Nicolson será utilizado largamente para auxiliar a resolução do problema inverso. Para tanto, é necessário definí-lo:

$$u_i^{k+1} = u_i^k + \frac{\lambda}{2}((u_{i-1}^{k+1} - 2u_i^{k+1} + u_{i+1}^{k+1}) + (u_{i-1}^k - 2u_i^k + u_{i+1}^k)) + \frac{\Delta t}{2}(f(x_i, t_k) + f(x_i, t_{k+1})) \quad (1)$$

A equação anterior também pode ser re-escrita da seguinte forma:

$$-\frac{\lambda}{2}u_{i-1}^{k+1} + (1 + \lambda)u_i^{k+1} - \frac{\lambda}{2}u_{i+1}^{k+1} = \frac{\lambda}{2}u_{i-1}^k + (1 - \lambda)u_i^k + \frac{\lambda}{2}u_{i+1}^k + \frac{\Delta t}{2}(f(x_i, t_k) + f(x_i, t_{k+1})) \quad (2)$$

E, com esta equação (2), é possível observar o caráter matricial do método. Assim, segue que:

$$\begin{bmatrix} 1 + \lambda & -\frac{\lambda}{2} & 0 & \dots & 0 & 0 \\ -\frac{\lambda}{2} & 1 + \lambda & -\frac{\lambda}{2} & \dots & 0 & 0 \\ 0 & -\frac{\lambda}{2} & 1 + \lambda & \dots & 0 & 0 \\ \vdots & \vdots & \vdots & \ddots & \vdots & \vdots \\ 0 & 0 & 0 & \dots & 1 + \lambda & -\frac{\lambda}{2} \\ 0 & 0 & 0 & \dots & -\frac{\lambda}{2} & 1 + \lambda \end{bmatrix} \cdot \begin{bmatrix} u_1^{k+1} \\ u_2^{k+1} \\ u_3^{k+1} \\ \vdots \\ u_{N-2}^{k+1} \\ u_{N-1}^{k+1} \end{bmatrix} = \begin{bmatrix} (1 - \lambda)u_1^k + \frac{\lambda}{2}u_2^k + \frac{\lambda}{2}(g_1(t_k) + g_1(t_{k+1})) + \frac{\Delta t}{2}(f(x_1, t_k) + f(x_1, t_{k+1})) \\ \frac{\lambda}{2}u_1^k + (1 - \lambda)u_2^k + \frac{\lambda}{2}u_3^k + \frac{\Delta t}{2}(f(x_2, t_k) + f(x_2, t_{k+1})) \\ \frac{\lambda}{2}u_2^k + (1 - \lambda)u_3^k + \frac{\lambda}{2}u_4^k + \frac{\Delta t}{2}(f(x_3, t_k) + f(x_3, t_{k+1})) \\ \vdots \\ \frac{\lambda}{2}u_{N-3}^k + (1 - \lambda)u_{N-2}^k + \frac{\lambda}{2}u_{N-1}^k + \frac{\Delta t}{2}(f(x_{N-2}, t_k) + f(x_{N-2}, t_{k+1})) \\ \frac{\lambda}{2}u_{N-2}^k + (1 - \lambda)u_{N-1}^k + \frac{\lambda}{2}(g_2(t_k) + g_2(t_{k+1})) + \frac{\Delta t}{2}(f(x_{N-1}, t_k) + f(x_{N-1}, t_{k+1})) \end{bmatrix} \quad (3)$$

É possível aplicar algumas simplificações ao sistema linear, dado que  $M = N$  e que, no exercício proposto é requisitado manter as condições de contorno nulas, ou seja,  $g_1(t) = g_2(t) = 0$ :

$$\begin{bmatrix} 1+N & -\frac{N}{2} & 0 & \dots & 0 & 0 \\ -\frac{N}{2} & 1+N & -\frac{N}{2} & \dots & 0 & 0 \\ 0 & -\frac{N}{2} & 1+N & \dots & 0 & 0 \\ \vdots & \vdots & \vdots & \ddots & \vdots & \vdots \\ 0 & 0 & 0 & \dots & 1+N & -\frac{N}{2} \\ 0 & 0 & 0 & \dots & -\frac{N}{2} & 1+N \end{bmatrix} \cdot \begin{bmatrix} u_1^{k+1} \\ u_2^{k+1} \\ u_3^{k+1} \\ \vdots \\ u_{N-2}^{k+1} \\ u_{N-1}^{k+1} \end{bmatrix} = \begin{bmatrix} (1-N)u_1^k + \frac{N}{2}u_2^k + \frac{\Delta t}{2}(f(x_1, t_k) + f(x_1, t_{k+1})) \\ \frac{N}{2}u_1^k + (1-N)u_2^k + \frac{N}{2}u_3^k + \frac{\Delta t}{2}(f(x_2, t_k) + f(x_2, t_{k+1})) \\ \frac{N}{2}u_2^k + (1-N)u_3^k + \frac{N}{2}u_4^k + \frac{\Delta t}{2}(f(x_3, t_k) + f(x_3, t_{k+1})) \\ \vdots \\ \frac{N}{2}u_{N-3}^k + (1-N)u_{N-2}^k + \frac{N}{2}u_{N-1}^k + \frac{\Delta t}{2}(f(x_{N-2}, t_k) + f(x_{N-2}, t_{k+1})) \\ \frac{N}{2}u_{N-2}^k + (1-N)u_{N-1}^k + \frac{\Delta t}{2}(f(x_{N-1}, t_k) + f(x_{N-1}, t_{k+1})) \end{bmatrix} \quad (4)$$

Para cada passo realizado em  $k$  é necessário calcular a solução do sistema linear da Equação (4).

### 3.2 Decomposição de Cholesky

O enunciado do exercício constata que a resolução do Método de Mínimos Quadrados segue da resolução do sistema normal associado a matriz quadrada  $\mathbf{A}$  dos produtos internos entre os vetores  $u_k(T)$ ,  $k = 1, \dots, nf$ . Para a resolução deste sistema matricial é necessário que realizar uma decomposição  $\mathbf{A} = \mathbf{L} \cdot \mathbf{D} \cdot \mathbf{L}^T$ , com  $\mathbf{L}$  sendo uma matriz triangular com a parte inferior preenchida e  $\mathbf{D}$  uma matriz diagonal. Defini-se a matriz  $\mathbf{A}$ , onde  $a_{ij}$  representa  $\langle u_i, u_j \rangle$ :

$$\mathbf{A} = \begin{bmatrix} a_{11} & a_{12} & \dots & a_{1nf} \\ a_{21} & a_{22} & \dots & a_{2nf} \\ a_{31} & a_{32} & \dots & a_{3nf} \\ \vdots & \vdots & \ddots & \vdots \\ a_{nf1} & a_{nf2} & \dots & a_{nfnf} \end{bmatrix}$$

$$\mathbf{L} \cdot \mathbf{D} \cdot \mathbf{L}^T = \begin{bmatrix} 1 & 0 & \dots & 0 \\ l_{21} & 1 & \dots & 0 \\ l_{31} & l_{32} & \dots & 0 \\ \vdots & \vdots & \ddots & \vdots \\ l_{nf1} & l_{nf2} & \dots & 1 \end{bmatrix} \cdot \begin{bmatrix} d_1 & 0 & \dots & 0 \\ 0 & d_2 & \dots & 0 \\ 0 & 0 & \dots & 0 \\ \vdots & \vdots & \ddots & \vdots \\ 0 & 0 & \dots & d_{nf} \end{bmatrix} \cdot \begin{bmatrix} 1 & l_{21} & \dots & l_{nf1} \\ 0 & 1 & \dots & l_{nf2} \\ 0 & 0 & \dots & l_{nf3} \\ \vdots & \vdots & \ddots & \vdots \\ 0 & 0 & \dots & 1 \end{bmatrix}$$

$$\mathbf{L} \cdot \mathbf{D} \cdot \mathbf{L}^T = \begin{bmatrix} 1 & 0 & \dots & 0 \\ l_{21} & 1 & \dots & 0 \\ l_{31} & l_{32} & \dots & 0 \\ \vdots & \vdots & \ddots & \vdots \\ l_{nf1} & l_{nf2} & \dots & 1 \end{bmatrix} \cdot \begin{bmatrix} d_1 & d_1 \cdot l_{21} & \dots & d_1 \cdot l_{nf1} \\ 0 & d_2 & \dots & d_2 \cdot l_{nf2} \\ 0 & 0 & \dots & d_3 \cdot l_{nf3} \\ \vdots & \vdots & \ddots & \vdots \\ 0 & 0 & \dots & d_{nf} \end{bmatrix} \quad (5)$$

$$\mathbf{L} \cdot \mathbf{D} \cdot \mathbf{L}^T = \begin{bmatrix} d_1 & l_{21}d_1 & \dots & l_{nf1}d_1 \\ l_{21}d_1 & l_{21}^2d_1 + d_2 & \dots & l_{21}l_{nf1}d_1 + l_{nf2}d_2 \\ \vdots & \vdots & \ddots & \vdots \\ l_{nf1}d_1 & l_{21}l_{nf1}d_1 + l_{nf2}d_2 & \dots & l_{nf1}^2d_1 + l_{nf2}^2d_2 + \dots + d_{nf} \end{bmatrix} \quad (6)$$

Assim, pode-se fazer  $\mathbf{A} = \mathbf{L} \cdot \mathbf{D} \cdot \mathbf{L}^T$  e, portanto:

$$\begin{bmatrix} a_{11} & a_{12} & \dots & a_{1nf} \\ a_{21} & a_{22} & \dots & a_{2nf} \\ \vdots & \vdots & \ddots & \vdots \\ a_{nf1} & a_{nf2} & \dots & a_{nf nf} \end{bmatrix} = \begin{bmatrix} d_1 & l_{21}d_1 & \dots & l_{nf1}d_1 \\ l_{21}d_1 & l_{21}^2d_1 + d_2 & \dots & l_{21}l_{nf1}d_2 \\ \vdots & \vdots & \ddots & \vdots \\ l_{nf1}d_1 & l_{21}l_{nf1} + l_{nf2}d_2 & \dots & l_{nf1}^2d_1 + l_{nf2}^2d_2 + \dots + d_{nf} \end{bmatrix}$$

Igualando termo a termo e resolvendo o sistema consequente, encontra-se as expressões para  $d_i$  e  $l_{ij}$ :

$$d_j = a_{jj} - \sum_{k=1}^{j-1} l_{jk}^2 d_k \quad (7)$$

$$l_{ij} = \left( a_{ij} - \sum_{k=1}^{j-1} l_{ik} d_k l_{jk} \right) \times \left( \frac{1}{d_j} \right) \quad (8)$$

Assim, pode-se considerar que a decomposição está bem definida e pode ser facilmente implementada no código. Para encontrar a solução do sistema, deve-se resolver  $[L][D][L]^T[x] = [b]$ . Primeiro, faz-se  $[L]^T[x] = [y]$ , ou seja:

$$\begin{bmatrix} 1 & l_{21} & \dots & l_{nf1} \\ 0 & 1 & \dots & l_{nf2} \\ \vdots & \vdots & \ddots & \vdots \\ 0 & 0 & \dots & 1 \end{bmatrix} \cdot \begin{bmatrix} x_1 \\ x_2 \\ \vdots \\ x_{nf} \end{bmatrix} = \begin{bmatrix} y_1 \\ y_2 \\ \vdots \\ y_{nf} \end{bmatrix} \quad (9)$$

A solução deste sistema é:

$$x_i = y_i - \sum_{k=i+1}^{nf} l_{ki} x_k \quad (10)$$

Depois, a substituição  $[D][L]^T[x] = [D][y] = [z]$  é feita. Isto implica que:

$$\begin{bmatrix} d_1 & 0 & \dots & 0 \\ 0 & d_2 & \dots & 0 \\ \vdots & \vdots & \ddots & \vdots \\ 0 & 0 & \dots & d_{nf} \end{bmatrix} \cdot \begin{bmatrix} y_1 \\ y_2 \\ \vdots \\ y_{nf} \end{bmatrix} = \begin{bmatrix} z_1 \\ z_2 \\ \vdots \\ z_{nf} \end{bmatrix} \quad (11)$$

Resolvendo em  $y$ :

$$y_i = \frac{z_i}{d_i} \quad (12)$$

Por fim, é feita a substituição  $[L][D][L]^T[x] = [L][z] = [b]$ , ou seja:

$$\begin{bmatrix} 1 & 0 & \dots & 0 \\ l_{21} & 1 & \dots & 0 \\ \vdots & \vdots & \ddots & \vdots \\ l_{nf1} & l_{nf2} & \dots & 1 \end{bmatrix} \cdot \begin{bmatrix} z_1 \\ z_2 \\ \vdots \\ z_{nf} \end{bmatrix} = \begin{bmatrix} a_1 \\ a_2 \\ \vdots \\ a_{nf} \end{bmatrix} \quad (13)$$

A solução deste novo sistema é, por fim:

$$z_i = b_i - \sum_{k=1}^{i-1} l_{ik} z_k \quad (14)$$

Para encontrar os valores de  $[x]$ , calcula-se primeiro o vetor  $[z]$ , seguido do  $[y]$  para, por fim, ser possível calcular  $[x]$ . Seguindo este procedimento, é possível encontrar os coeficientes de  $a_i$  pedidos no enunciado.

### 3.3 Método dos Mínimos Quadrados

No problema em questão deseja-se aproximar  $u_T$  a partir de uma sequência de vetores  $[u_1, u_2, \dots, u_{nf}]$ . Para isso, pode-se aplicar o Método dos Mínimos Quadrados. Sendo  $F$  um espaço vetorial com produto interno e  $f \in F$ , deseja-se aproximar  $f$  por um conjunto de funções  $g_1, g_2, \dots, g_{nf}$  que geram um subespaço vetorial  $G$  de  $F$ . Seja  $g$  um elemento de  $G$  que tenta aproximar  $f$ . O erro quadrático da aproximação é dado por:

$$E(f, g) = \langle f - g, f - g \rangle \quad (15)$$

O elemento  $g$  é a melhor aproximação possível quando o vetor  $f - g$  é ortogonal a  $G$  (pois implica que não há qualquer modificação possível em  $g$  que o aproximaria mais de  $f$ ). Isso implica que,  $\forall i | 1 \leq i \leq nf$ , vale que  $\langle f - g, g_i \rangle = 0$ . Mas como  $g \in G$ , existe uma combinação linear de  $g_i$  tal que:

$$g = a_1 g_1 + a_2 g_2 + \dots + a_{nf} g_{nf} \quad (16)$$

Para encontrarmos os valores de  $a_i$ , devemos resolver o seguinte sistema:

$$\begin{bmatrix} \langle g_0, g_0 \rangle & \langle g_0, g_1 \rangle & \dots & \langle g_0, g_{nf} \rangle \\ \langle g_1, g_0 \rangle & \langle g_1, g_1 \rangle & \dots & \langle g_1, g_{nf} \rangle \\ \vdots & \vdots & \ddots & \vdots \\ \langle g_{nf}, g_0 \rangle & \langle g_{nf}, g_1 \rangle & \dots & \langle g_{nf}, g_{nf} \rangle \end{bmatrix} \cdot \begin{bmatrix} a_1 \\ a_2 \\ \vdots \\ a_{nf} \end{bmatrix} = \begin{bmatrix} \langle f, g_0 \rangle \\ \langle f, g_1 \rangle \\ \vdots \\ \langle f, g_{nf} \rangle \end{bmatrix} \quad (17)$$

Resolvido este sistema, encontra-se a melhor aproximação de  $f$  a partir de  $g_1, g_2, \dots, g_{nf}$ . O método descrito acima é o método dos mínimos quadrados, e será utilizado para aproximar  $u_T$  a partir de  $u_1, u_2, \dots, u_{nf}$ .

## 4 Estruturação do Código

O código foi escrito em Python e seguiu a metodologia procedural: criou-se várias funções individuais para realizar pequenas tarefas e algumas funções principais agregadoras, para executar as individuais, de forma a facilitar sua manutenção. O código é acompanhado por um arquivo `LEIAME.txt` que contém instruções para seu uso e também outras informações. Além disso, o código foi ricamente comentado: utilizou-se para isto a biblioteca, nativa do Python, `typing` para gerar `type hints` que ajudam a entender o funcionamento das funções. Ademais procurou-se, sempre que possível, seguir as normas estabelecidas pela PEP-8 [2]. Um exemplo de uma declaração de função seria a seguinte:

```
def foo(
    arg1: str,
    arg2: int,
    arg3: Dict = {},
) -> Tuple[np.ndarray, np.ndarray]:
    ...
```

```

uma breve explicação sobre o que a função faz
@parameters:
- arg1: explicação
- arg2: explicação
- arg3: explicação
@output:
- out1: dim = (N x N), explicação
- out2: dim = (1 x N), explicação
...
#código

```

Esta sintaxe para declarar funções com muitas variáveis é a mais recomendada e provê clareza nas entradas e saídas do código. Cada **input** é declarado separadamente seguido de seu tipo e o **output** também é declarado na definição da função. Quem lê sabe o que entra e o que sai dela. Além disso, esta definição é seguida por uma **string** de comentário que explica a função e também os parâmetros de entrada e saída. Variáveis do tipo **array** são explicadas e suas dimensões também são definidas.

Quando a função **main** é executada, o programa requer do usuário qual teste deverá ser rodado e, nos casos c) e d), pede também o valor de  $N$  desejado. A função **main** chama então a função **run\_test** e passa o nome do teste e o valor de  $N$  como parâmetros. Esta nova função possui 4 diferentes *scripts* para os 4 testes.

Cada um desses *scripts* segue o seguinte padrão: primeiramente define-se, por **input** ou acessando o arquivo **test.txt** a lista que contém a posição das forçantes  $[p_1, \dots, p_{nf}]$ . Em seguida encontra-se, via equação predefinida, nos casos a) e b), ou também através do arquivo de testes o valor de  $u_T$ . Nos testes c) e d) é necessário encontrar os vetores  $u_k$ , então é chamada a função **generate\_nf\_vectors**.

Depois chama-se a função **generate\_normal\_system**, que gera as matrizes **A** e **b** do sistema normal do Método dos Mínimos Quadrados. Por fim encontra-se a resposta do sistema normal por meio da função **solve\_linear\_system** e, para os casos c) e d), calcula-se o erro quadrático associado a solução com a função **calculate\_quadratic\_error**.

Existem, ainda, diversas funções auxiliares para que o código inteiro consiga ser executado, dentre elas as funções de **plot** e algumas funções de *script* responsáveis pelo chamamento de outras funções.

## 5 Tarefas

### 5.1 a)

A Tarefa A requisita a elaboração de um código que, dado um certo conjunto  $p_k, k = 1, \dots, nf$  de pontos, gere o conjunto de vetores  $u_k$  resolvendo a equação do calor com condições de contorno nulas e uma forçante do tipo  $f(t, x) = r(t)g_h^k(x)$ , com  $r(t) = 10(1 + \cos(5t))$  e  $g_h^k(x)$  um degrau aplicado ao ponto  $p_k$ , utilizando, além do mais, o Método de Crank-Nicolson. Escreveu-se, então para a resolução desta tarefa as seguintes funções:

```

def get_u_p(N, T, p):
    M = get_M_parameter(T, N)
    time_array = get_time_array(M, T)
    space_array = get_space_array(N)

    u = np.zeros(N+1)
    u = crank_nicolson(T, M, u, space_array, p)
    u = u[1:-1]
    return u

def generate_unf_vectors(N, T, p_list):
    nf = len(p_list)
    u_vectors = []
    for i in range(nf):

```

```

    ui = get_u_p(N, T, p_list[i])
    u_vectors.append(ui)
return u_vectors

```

A primeira função é uma função auxiliar que, para cada valor de  $p_k$  calcula o vetor  $u_k$  em  $T = 1$  a partir de condições iniciais e fronteiras nulas. A segunda função recebe quase os mesmos parâmetros da primeira, com a diferença de que  $p_k$  foi substituído por uma lista  $[p_1, \dots, p_{nf}]$ . Então, para cada  $p_k$  nesta lista, calcula-se  $u_k$  utilizando a primeira função e então agregam-se todos estes vetores na lista  $\mathbf{u\_vectors} = [u_1, \dots, u_{nf}]$ .

## 5.2 b)

A Tarefa B exige que, dado um vetor  $u_T(x_i), i = 1, \dots, N-1$  que representa a solução da equação de calor, construa-se o sistema normal dado pela equação (17). Para a resolução desta tarefa têm-se a função `create_normal_system`:

```

def create_normal_system(u_vectors, u_T):
    nf = len(u_vectors)
    A = np.zeros([nf, nf])
    b = np.zeros(nf)
    for i in range(nf):
        b[i] = np.inner(u_vectors[i], u_T)
        for j in range(nf):
            inner_product = np.inner(u_vectors[i], u_vectors[j])
            A[i][j] = inner_product
            A[j][i] = inner_product

    return A, b

```

Este código recebe a lista de vetores  $[u_1, \dots, u_{nf}]$  gerados na tarefa anterior e o vetor  $u_T$  e calcula a matriz quadrada  $\mathbf{A}$  e a matriz de resultados  $\mathbf{b}$ .

## 5.3 c)

A Tarefa C pede uma rotina para que se decomponha a matriz  $\mathbf{A}$  em  $\mathbf{L.D.L}^T$  e que, dada esta decomposição, desenvolva-se outra rotina que resolva o sistema linear do tipo  $\mathbf{A.x} = \mathbf{b}$ , ambas baseadas em [1, p. 422]:

```

def perform_ldlt_transformation(A):
    nf = A.shape[0] # registra-se a dimensão da matriz A
    L = np.eye(nf) # inicia-se a matriz L com a diagonal preenchida por 1s
    D = np.zeros([nf, nf]) # inicia-se a matriz D com zeros
    for i in range(nf): # para i = 0, ..., nf - 1
        D[i, i] = A[i, i]
        for j in range(i): # para j = 0, ..., i - 1
            L[i, j] = A[i, j]
            for k in range(j): # para k = 0, ..., j - 1
                L[i, j] -= L[i, k]*L[j, k]*D[k, k]
            L[i, j] /= D[j, j]
        D[i, i] -= L[i, j]*L[i, j]*D[j, j]
    return L, D

```

Observe que foi possível implementar o código requerido com o mínimo de iterações possíveis, aproveitando-se o máximo de cada iteração para executar partes diferentes do algoritmo (i.e. calcular  $\mathbf{L}$  e  $\mathbf{D}$  por partes e simultaneamente). Em seguida, elaborou-se a rotina de resolução do sistema linear através da função `solve_linear_system`:

```

def solve_linear_system(A, u):
    nf = u.shape[0] # determina-se dimensao nf
    L, D = perform_ldlt_transformation(A) # aplica-se a decomp A = L.D.L'

    z = np.zeros(nf) # inicia-se a matriz z com zeros
    for i in range(nf): # para i = 0, ..., nf - 1
        bckwrdr_sum = 0 # cria-se uma variável auxiliar para guardar o somatório em k
        for k in range(i): # para k = 0, ..., i - 1
            bckwrdr_sum += L[i, k]*z[k]
        z[i] = u[i] - bckwrdr_sum

    y = np.zeros(nf) # inicia-se y com zeros
    for i in range(nf): # para i = 0, ..., nf
        y[i] = z[i]/D[i,i]

    x = np.zeros(nf) # inicia-se x com zeros
    for i in range(nf-1, -1, -1): # para i = nf - 1, ..., 0
        bckwrdr_sum = 0 # cria-se uma variável auxiliar para guardar o valor do somatório em k
        for k in range(i+1, nf): # para k = i + 1, ..., nf - 1
            bckwrdr_sum += L[k, i]*x[k]
        x[i] = y[i] - bckwrdr_sum
    return x

```

## 6 Testes

O enunciado pede que execute-se 4 testes, os dois primeiros para a conferência das funções implementadas e com resultados triviais e os outros dois que executavam o código e de fato resolviam o problema inverso da distribuição de temperaturas. Os valores numéricos das intensidades  $a_i$  e do erro quadrático  $E_2$  para cada teste podem ser encontrados no Apêndice A.

### 6.1 a)

O teste a tinha como único objetivo testar as funções implementadas requeria a resolução de um sistema normal de dimensões  $1 \times 1$ , definindo, ainda,  $u_T = 7u_1$ . O código, para este teste, retornou o resultado esperado,  $a_1 = 6.999999999999999$ , que é a resposta trivial para a aproximação  $u_T = a_1u_1$ , dado que iniciamos com uma restrição linear entre  $u_T$  e  $a_1$ . Além disto, a pequena diferença observada nos resultados é imputável aos erros de arredondamento do Python.

### 6.2 b)

Novamente, o teste visa checar o funcionamento das funções implementadas, porém desta vez considerando mais de uma fonte pontual, cada uma com uma posição diferente. Assim como no teste a), os resultados encontrados estão extremamente próximos dos valores apresentados no enunciado, diferindo apenas por erros de arredondamento do Python.

### 6.3 c)

Os valores de  $a_i$  para cada valor de  $N$  estão resumidos na Figura 1 a seguir:



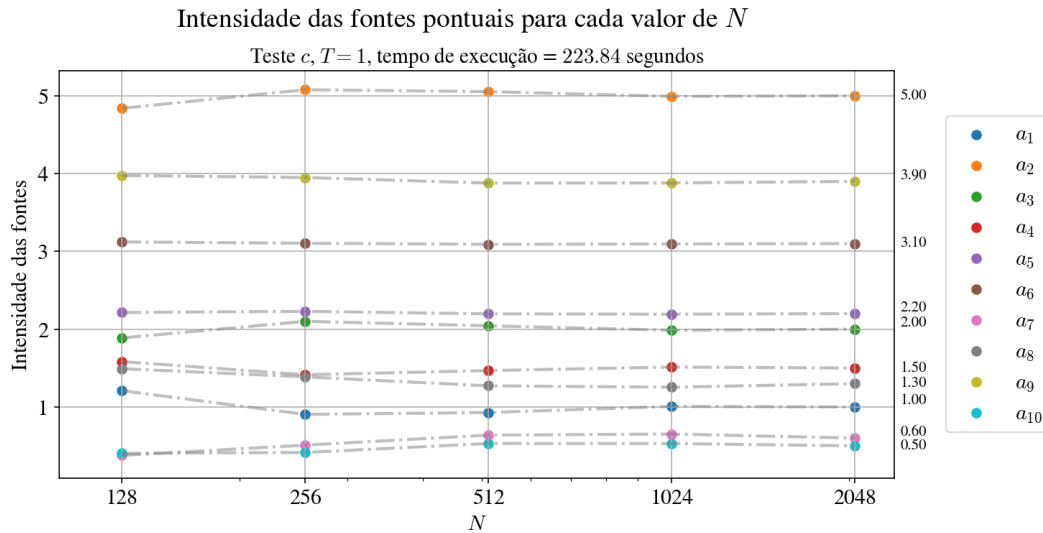


Figura 1: Intensidade das fontes pontuais para cada valor de  $N$  para o teste  $c$

De maneira geral, conforme aumenta-se  $N$ , os valores começam a convergir para certos valores, o que é corroborado pelo comportamento do erro quadrático. Isto é esperado, pois ao aumentar o valor de  $N$  fornece-se a temperatura em mais pontos da barra, o que aprimora a precisão da solução.

As soluções obtidas variando-se o valor de  $N$  estão representadas nos gráficos a seguir:

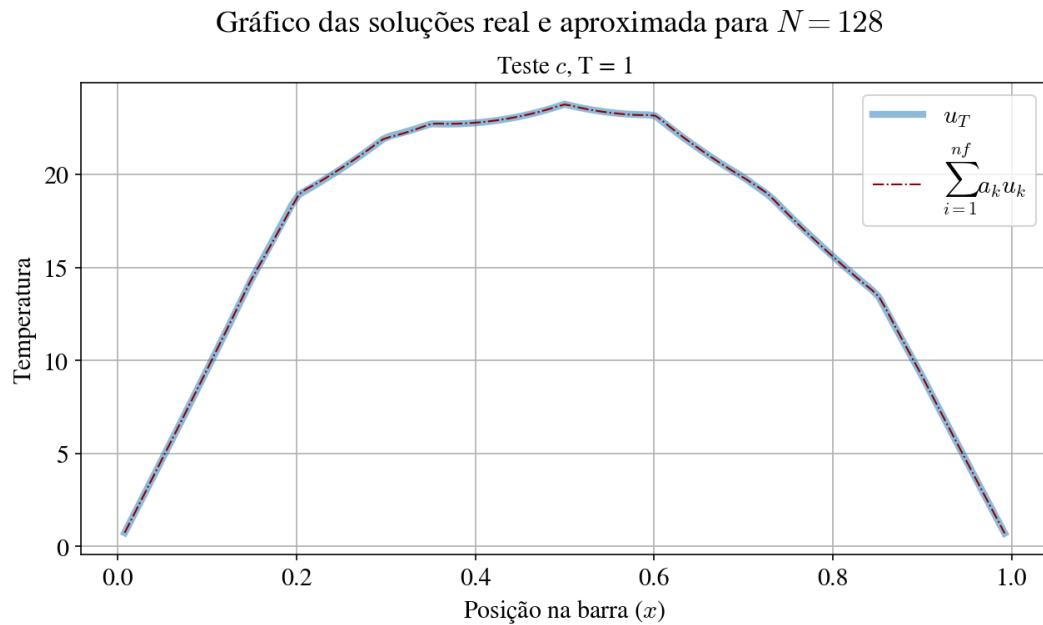


Figura 2: Gráfico de comparação entre as soluções real e aproximada no teste  $c$  para  $N = 128$

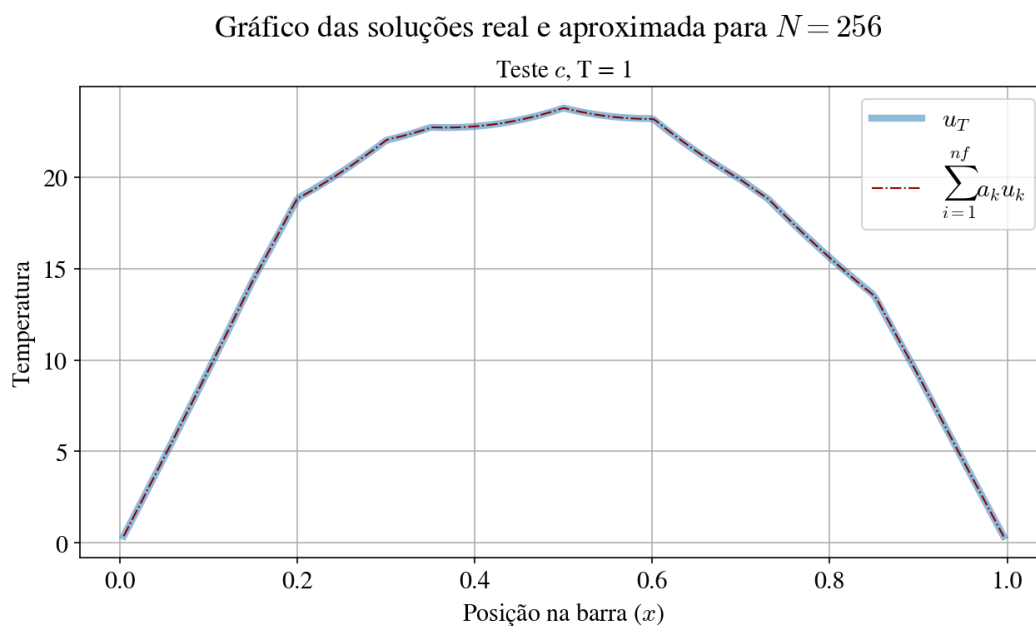


Figura 3: Gráfico de comparação entre as soluções real e aproximada no teste c para  $N = 256$

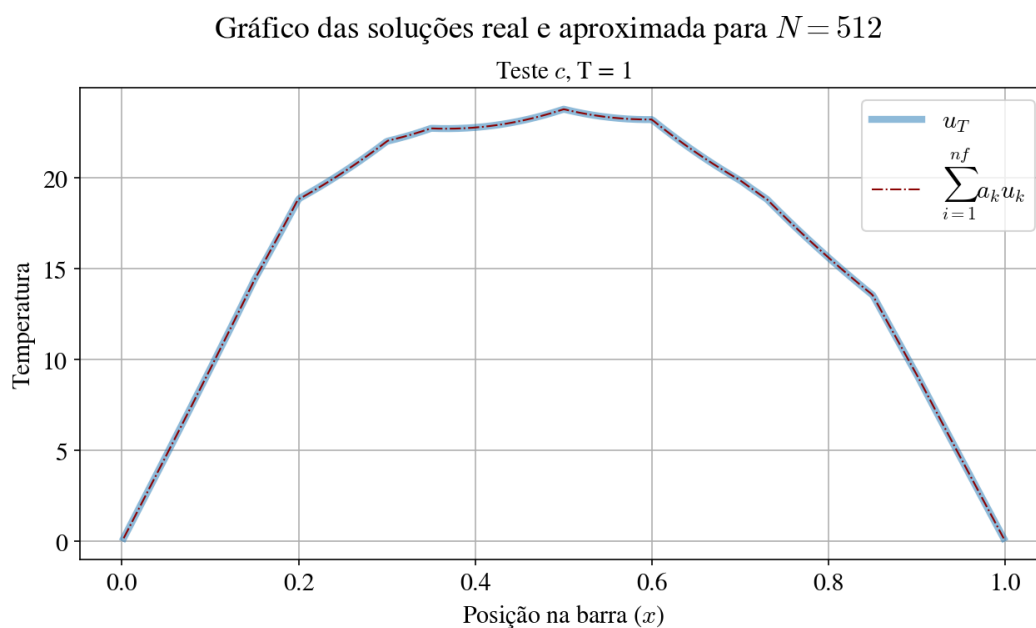


Figura 4: Gráfico de comparação entre as soluções real e aproximada no teste c para  $N = 512$

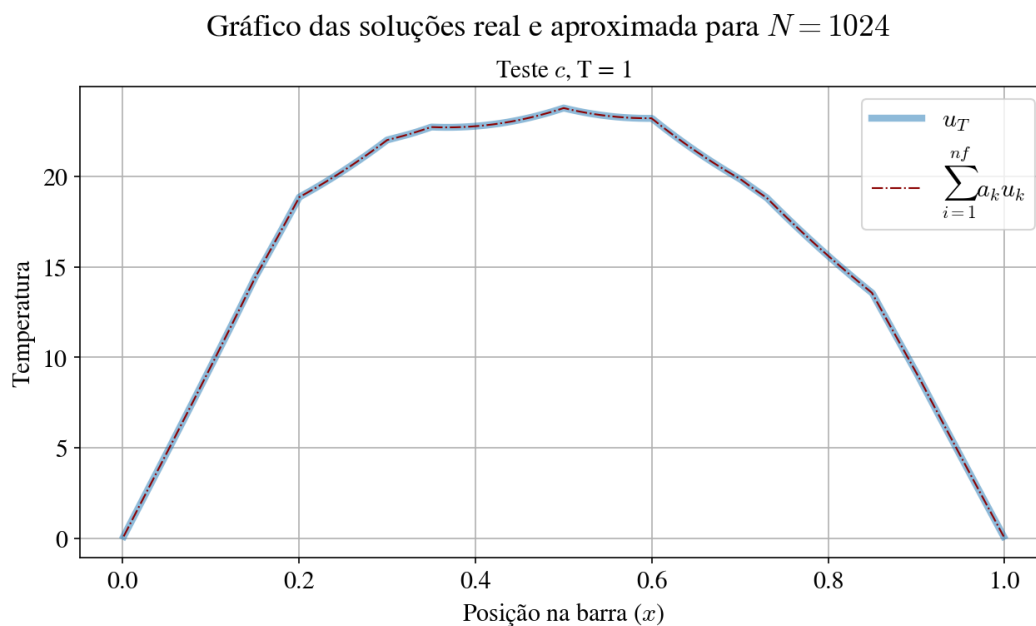


Figura 5: Gráfico de comparação entre as soluções real e aproximada no teste c para  $N = 1024$

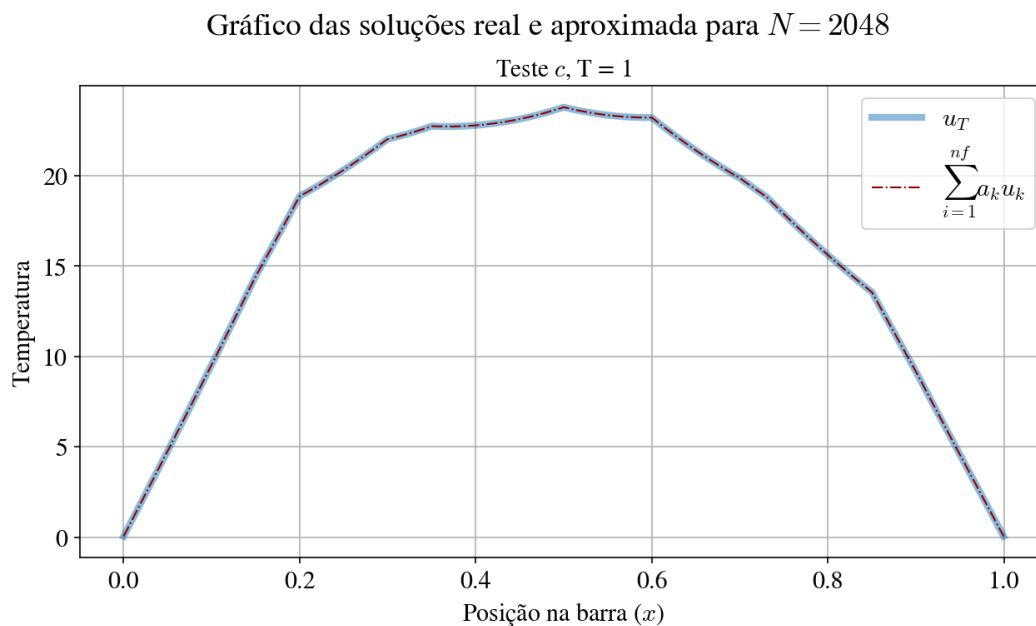


Figura 6: Gráfico de comparação entre as soluções real e aproximada no teste c para  $N = 2048$

Na Figura 7 é possível observar a variação do erro quadrático  $E_2$  com  $N$ :

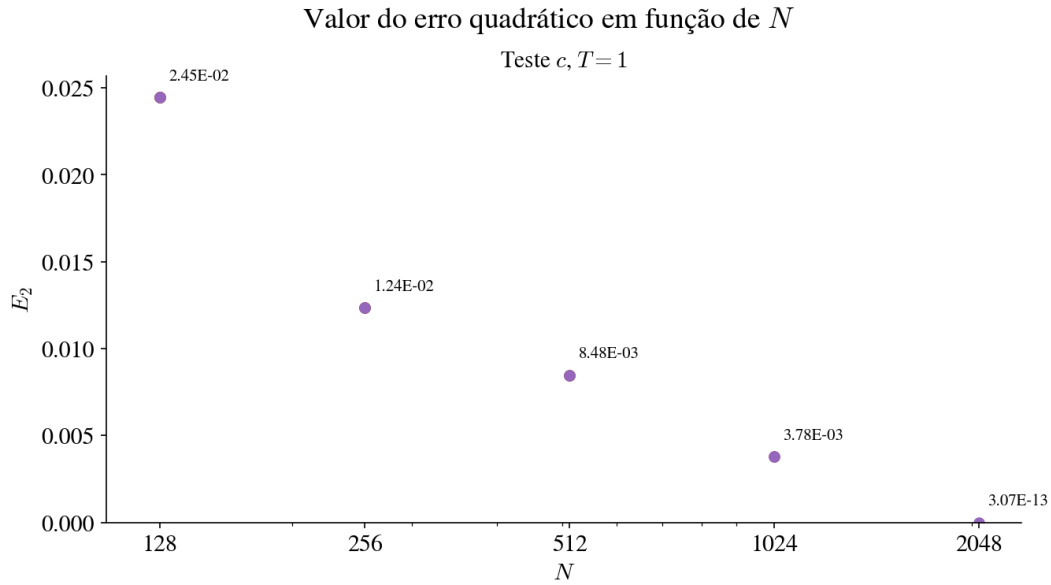


Figura 7: Valor do Erro Quadrático em função  $N$  no teste c

Observa-se que o erro quadrático já é relativamente pequeno para  $N = 128$ , da ordem de  $10^{-2}$ . Por conta disso, a solução obtida já concorda fortemente com a solução dada, e não observam-se diferenças relevantes em seus gráficos conforme varia-se  $N$ . Já o erro quadrático, em contrapartida, apresenta uma acelerada redução, com sua ordem caindo de  $10^{-2}$  quando  $N = 128$  para  $10^{-13}$  quando  $N = 2048$ . Este resultado é esperado, uma vez que mais informação sobre as temperaturas é fornecida ao programa, e portanto este é capaz de fornecer uma melhor aproximação.

#### 6.4 d)

Os valores das intensidades  $a_i$  das fontes pontuais para cada valor de  $N$  no teste d) estão expostos na Figura 8 a seguir:

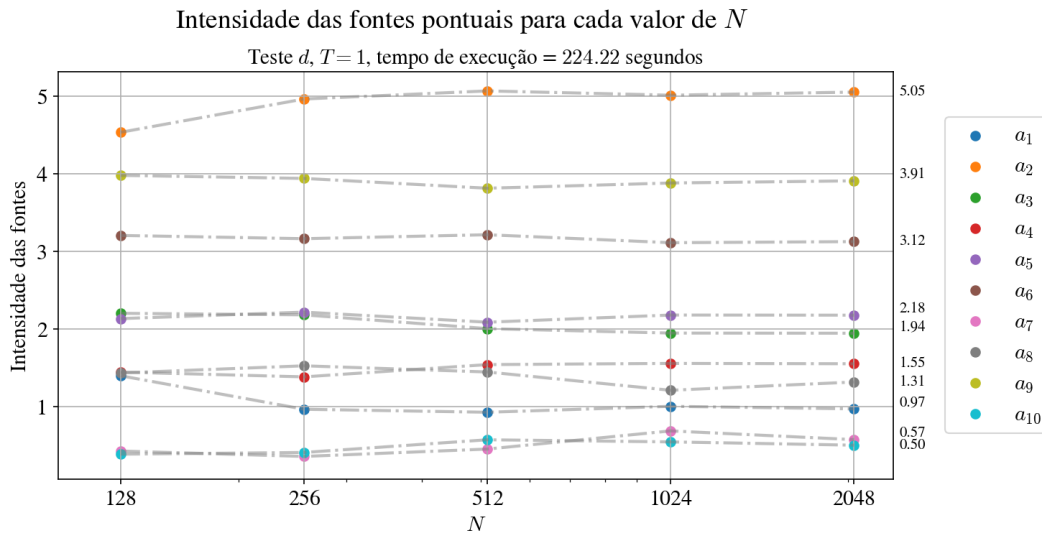


Figura 8: Intensidade das fontes pontuais para cada valor de  $N$  para o teste d

Um comportamento similar ao gráfico do teste anterior é observado - conforme aumenta-se  $N$ , os valores

das intensidades  $a_i$  convergem para certos valores, ainda que apresentem variações mais bruscas devido ao ruído.

As soluções obtidas variando-se o valor de  $N$  estão representadas nas Figuras 9 - 13:

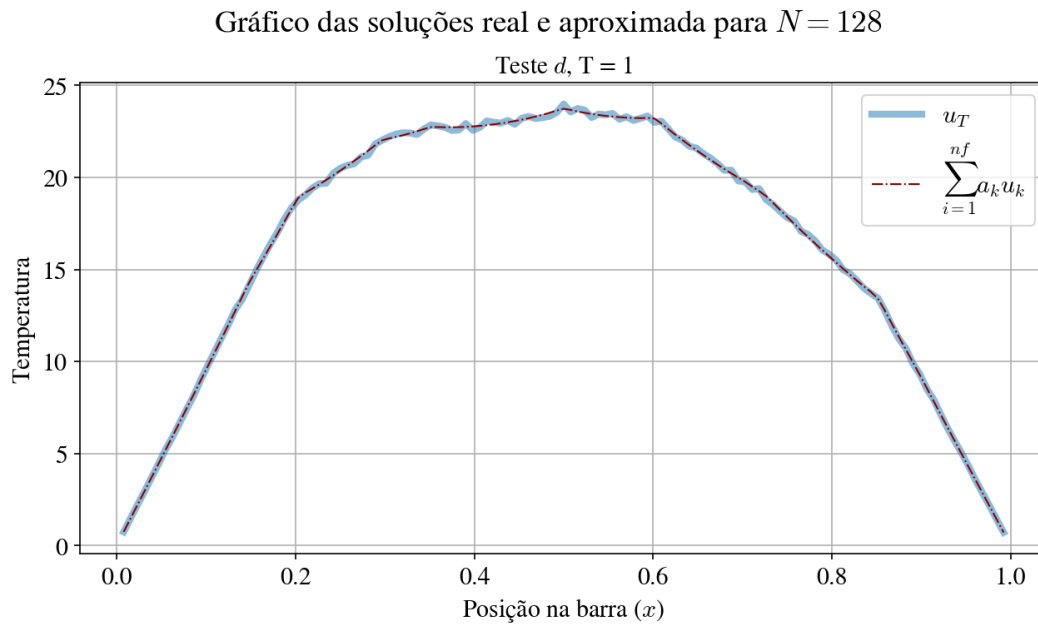


Figura 9: Gráfico de comparação entre as soluções real e aproximada no teste d para  $N = 128$

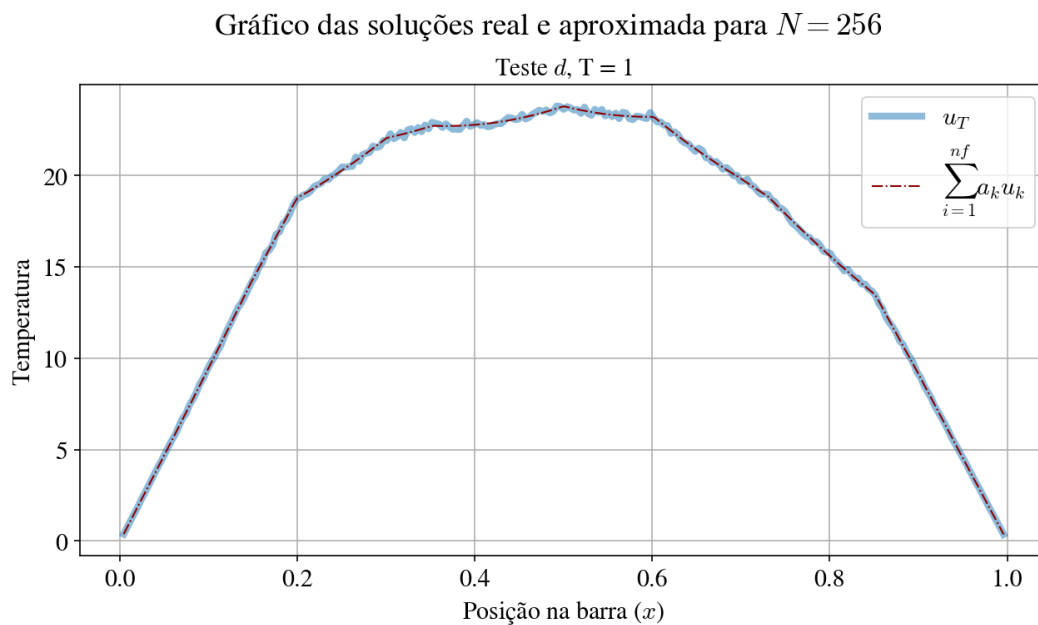


Figura 10: Gráfico de comparação entre as soluções real e aproximada no teste d para  $N = 256$

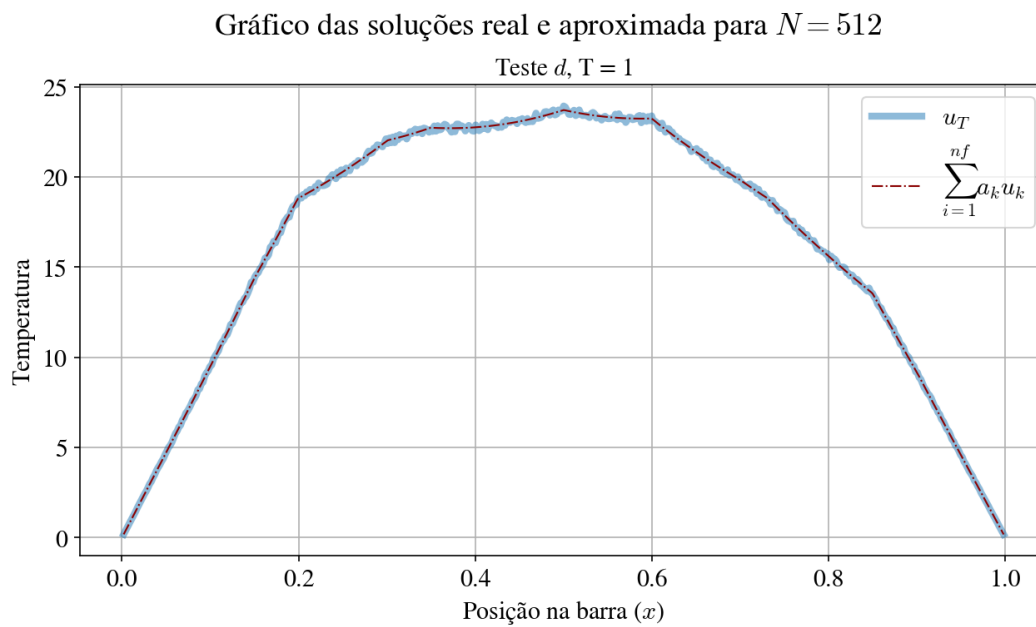


Figura 11: Gráfico de comparação entre as soluções real e aproximada no teste d para  $N = 512$

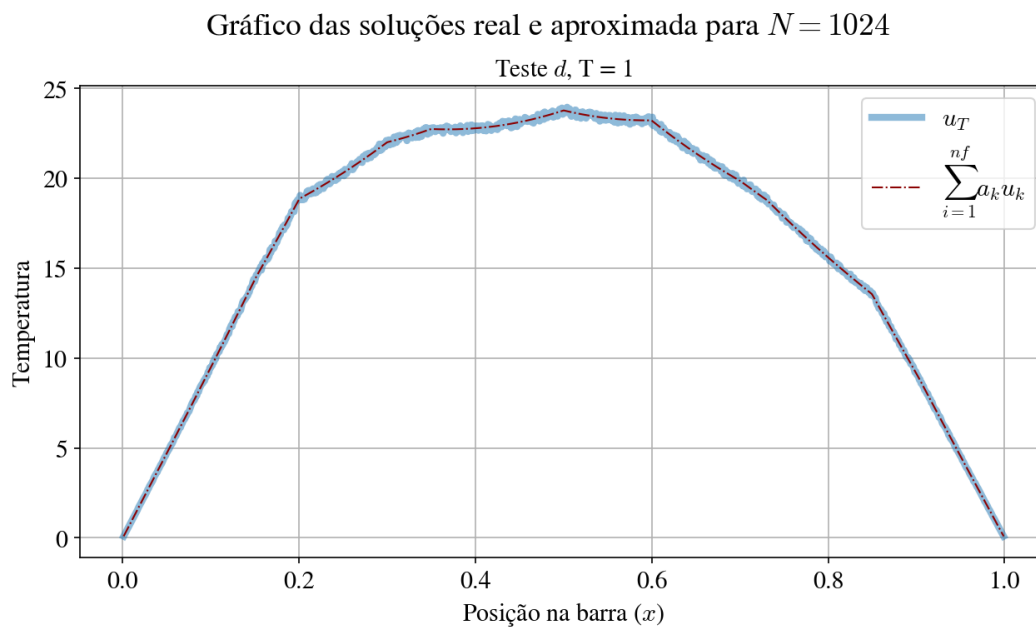


Figura 12: Gráfico de comparação entre as soluções real e aproximada no teste d para  $N = 1024$

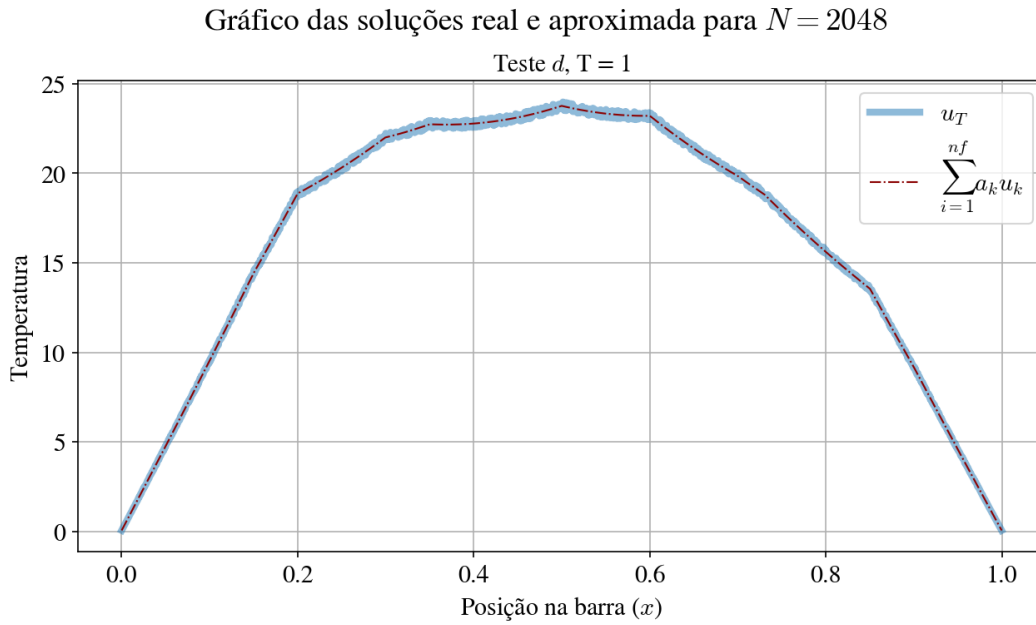


Figura 13: Gráfico de comparação entre as soluções real e aproximada no teste d para  $N = 2048$

Já o gráfico da variação do erro quadrático  $E_2$  com  $N$  é o seguinte:

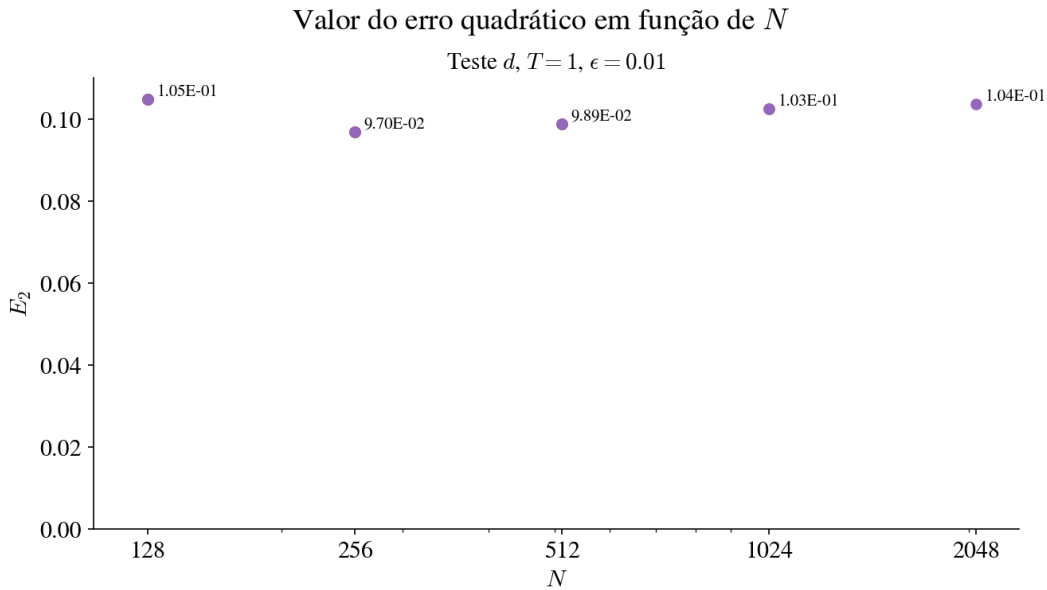


Figura 14: Valor do erro quadrático em função de  $N$  no teste d com  $\epsilon = 0.01$

Aqui observa-se um fenômeno interessante devido à presença do ruído. O erro quadrático não reduz conforme aumenta-se o valor de  $N$ . De fato, ele oscila em torno de um valor igual a 0.1. Isso ocorre pois com a introdução do ruído, os valores da solução  $u_T$  tornam-se pseudo-aleatórios, e o erro quadrático é composto por diferenças ponto a ponto. Tomando a temperatura média ao longo da barra em  $T = 1$  como da ordem de  $10^1$ , o desvio causado pelo ruído é, em módulo, da ordem  $10^1 \cdot 0.01 = 0.1$ . Este valor nos fornece uma estimativa para o erro ponto a ponto (note que é superior aos valores do erro quadrático quando não há ruído, sendo o termo dominante no erro do item d)). Por conta deste efeito, que independe de  $N$ , o erro quadrático não apresenta redução conforme incrementa-se o número de pontos.

Por fim, têm-se os resultados obtidos ao variar-se o valor de  $\epsilon$ , o parâmetro do ruído. Nos testes acima foi usado  $\epsilon = 0.1$ .

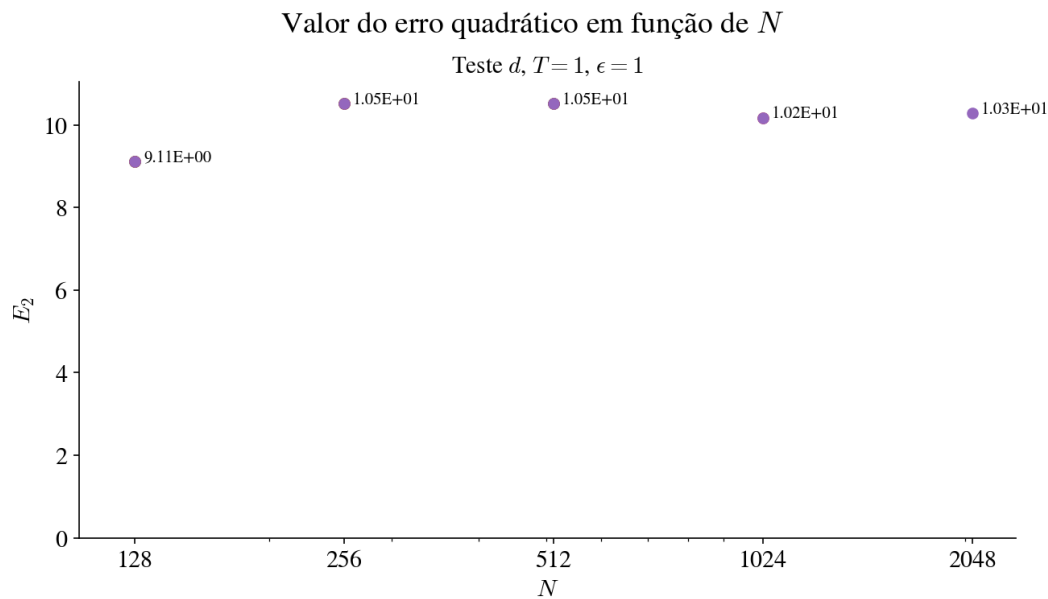


Figura 15: Valor do erro quadrático em função de  $N$  no teste d com  $\epsilon = 1.0$

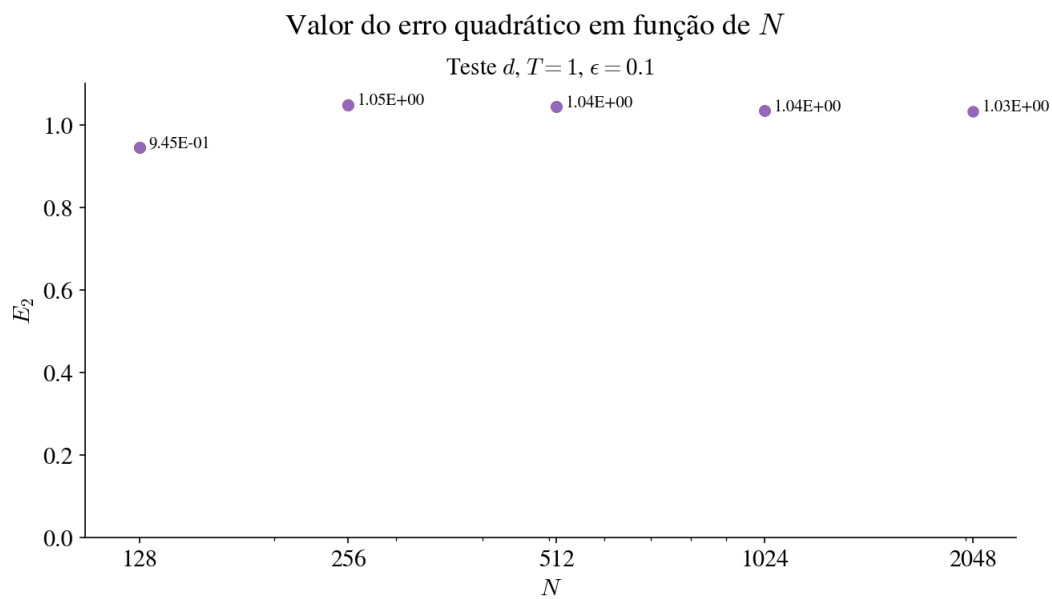


Figura 16: Valor do erro quadrático em função de  $N$  no teste d com  $\epsilon = 0.1$



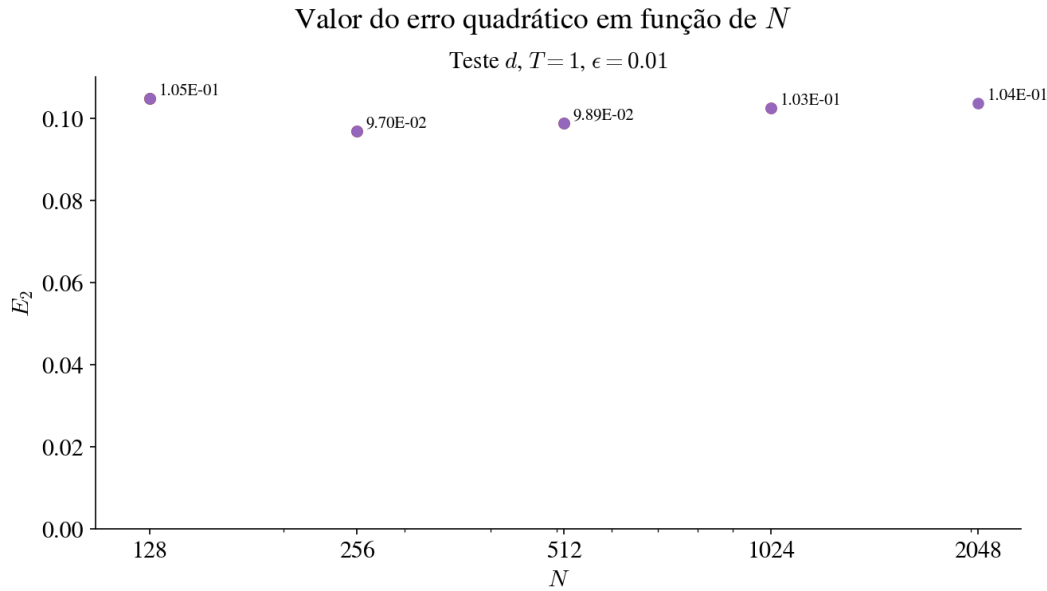


Figura 17: Valor do erro quadrático em função de  $N$  no teste d com  $\epsilon = 0.01$

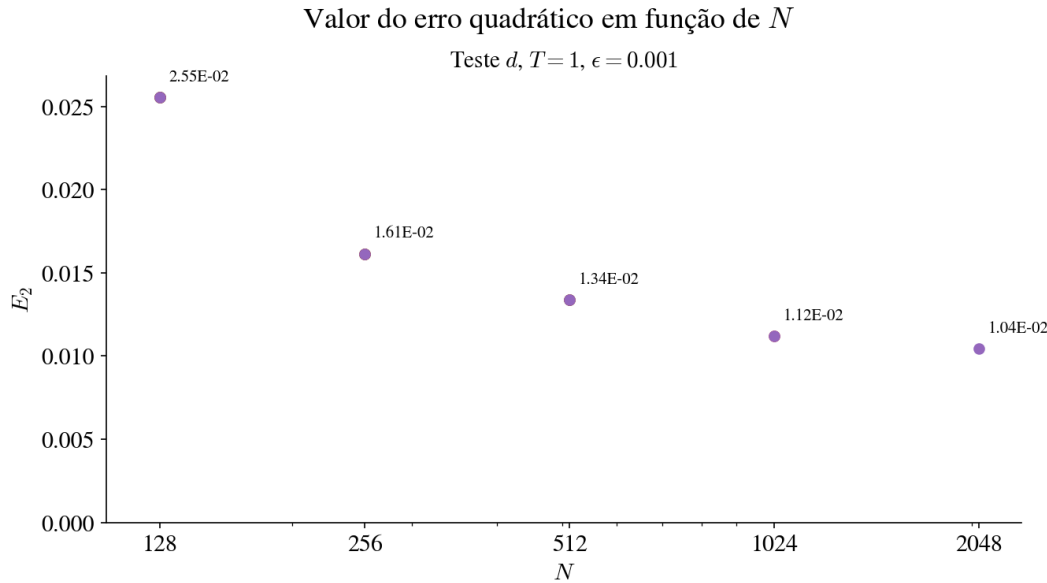


Figura 18: Valor do erro quadrático em função de  $N$  no teste d com  $\epsilon = 0.001$

Nos casos em que  $\epsilon > 0.001$ , observa-se que o erro quadrático não é reduzido por  $N$ , gravitando em torno de certos valores. Isto pode ser explicado pela análise feita acima, na qual conclui-se que o termo dominante do erro quadrático era devido ao ruído, e portanto não era uma função de  $N$ . Já no caso  $\epsilon = 0.001$ , observa-se um declínio no valor do erro quadrático. Isto ocorre pois neste caso, nos menores valores de  $N$ , a magnitude do desvio causado pelo ruído é comparável ao erro obtido quando não há ruído. Sendo que este diminui com  $N$ , e nos maiores valores deste o erro quadrático se estabiliza em torno de certo valor, representando a parcela devida ao ruído.

Por fim, é possível notar que, em todos os casos, o erro quadrático (ou seu valor para valores maiores de  $N$ , no caso  $\epsilon = 0.001$ ) é dado aproximadamente pelo produto entre  $\epsilon$  e  $nf$ , o número de fontes.

## 7 Conclusões e considerações finais

Neste exercício programa, muito pôde ser concluído quanto à resolução de problemas inversos. Foi dada uma utilização prática do método dos mínimos quadrados e, a partir de sua implementação, foi constatado um aumento na precisão conforme a discretização das informações fornecia aumentava. Tal conclusão é corroborada pela diminuição do erro quadrático. Além disso, foi possível constatar o efeito do ruído no erro, sendo diretamente responsável por manter seu valor constante conforme  $N$  aumentava. Isto ressalta a importância de suprimir quaisquer ruídos ou perturbações nas medições, pois estes acarretam na perda de precisão da solução. A experiência adquirida neste exercício foi valiosa e certamente será de muita utilidade no futuro.

## Referências

- [1] Richard L. Burden, Douglas J. Faires e Annette M. Burden. *Análise Numérica*. Cengage Learning, 2014.
- [2] Guido van Rossum, Barry Warsaw e Nick Coghlan. *Style Guide for Python Code*. PEP 8. 2001. URL: <https://www.python.org/dev/peps/pep-0008/>.

## A Resultados de todos os testes rodados

Todos os testes requisitados no enunciado foram executados e os **outputs** gerados encontram-se abaixo:

### A.1 Teste A

```
>> run_test(test_name = 'a', N = 128)
a1 = 6.999999999999999
```

### A.2 Teste B

```
>> run_test(test_name = 'b', N = 128)
a1 = 2.30000000000000416
a2 = 3.6999999999999633
a3 = 0.2999999999999945
a4 = 4.2000000000000023
```

### A.3 Teste C

```
>> run_test(test_name = 'c', N = 128)
N = 128
```

```
a1 = 1.2091231792047594
a2 = 4.839258715746055
a3 = 1.8872408557576428
a4 = 1.58339993186339
a5 = 2.2145040462879138
a6 = 3.1212947787781866
a7 = 0.3773402863633759
a8 = 1.4923482881307724
a9 = 3.975138801597466
a10 = 0.40414515364933906
E_2 = 0.024453403799693
```

```
>> run_test(test_name = 'c', N = 256)
N = 256
```

```
a1 = 0.9045010343167235
a2 = 5.077572635562824
a3 = 2.10085359547735
a4 = 1.4141556850890353
a5 = 2.2292450130537187
a6 = 3.104613856990656
a7 = 0.509452597392106
a8 = 1.38650879045667
a9 = 3.949878646151287
a10 = 0.4148931283310377
E_2 = 0.012363464048869186
```

```
>> run_test(test_name = 'c', N = 512)
N = 512
```

```
a1 = 0.9286883784938489
a2 = 5.053707844478872
a3 = 2.0437010489053513
a4 = 1.4676706728635018
a5 = 2.196763331997367
```

```
a6 = 3.0911311688990724
a7 = 0.6375875163788951
a8 = 1.2716872153206644
a9 = 3.8780948673276554
a10 = 0.5305567786423463
E_2 = 0.008476628330826349
```

```
>> run_test(test_name = 'c', N = 1024)
N = 1024
```

```
a1 = 1.007281322075574
a2 = 4.992443012452249
a3 = 1.9858767276157145
a4 = 1.5132584652238705
a5 = 2.1926928376832038
a6 = 3.095152875934147
a7 = 0.6523266477781835
a8 = 1.2537898890640804
a9 = 3.879667056940479
a10 = 0.5297366253017982
E_2 = 0.003779310463290562
```

```
>> run_test(test_name = 'c', N = 2048)
N = 2048
```

```
a1 = 0.9999999999985469
a2 = 5.000000000001094
a3 = 2.000000000000128
a4 = 1.5000000000006573
a5 = 2.2000000000022144
a6 = 3.099999999999283
a7 = 0.6000000000025372
a8 = 1.299999999997767
a9 = 3.899999999999695
a10 = 0.5000000000009726
E_2 = 3.068812698281959e-13
```

## A.4 Teste D

```
>> run_test(test_name = 'd', N = 128)
N = 128
a1 = 1.3935210164266003
a2 = 4.534607374958988
a3 = 2.199386416010782
a4 = 1.4413297205936573
a5 = 2.1311406656627536
a6 = 3.2035589019063684
a7 = 0.4230089783029447
a8 = 1.4303499666910202
a9 = 3.9783256656177466
a10 = 0.38260053702100305
E_2 = 0.10488526630020026

>> run_test(test_name = 'd', N = 256)
N = 256
a1 = 0.9617946611432941
a2 = 4.9634205936866
a3 = 2.1791835158729107
a4 = 1.3798627954631648
a5 = 2.214566351873602
a6 = 3.1621108548636787
a7 = 0.3533662343287336
a8 = 1.5223291017938472
a9 = 3.939121880639698
a10 = 0.4045477635306339
E_2 = 0.0969709427160337

>> run_test(test_name = 'd', N = 512)
N = 512
a1 = 0.9231835811521876
a2 = 5.067800153806822
a3 = 2.0016104610412064
a4 = 1.5379257532957666
a5 = 2.084695642144725

a6 = 3.212904391430346
a7 = 0.4487152151170033
a8 = 1.4424665120793545
a9 = 3.8126126853512536
a10 = 0.5684134001080254
E_2 = 0.09889865013887882

>> run_test(test_name = 'd', N = 1024)
N = 1024
a1 = 0.9997422471041943
a2 = 5.0126411756717175
a3 = 1.9443016903381114
a4 = 1.5532828806319117
a5 = 2.1770957552120187
a6 = 3.110120336767899
a7 = 0.6827830591728459
a8 = 1.2064813275094828
a9 = 3.8801678955904806
a10 = 0.5410617646852851
E_2 = 0.10253123835678817

>> run_test(test_name = 'd', N = 2048)
N = 2048
a1 = 0.9668715752466497
a2 = 5.052590861813805
a3 = 1.9424024141604868
a4 = 1.5487983830444136
a5 = 2.1752393020136847
a6 = 3.124027102810243
a7 = 0.5702384495733543
a8 = 1.3131363598707413
a9 = 3.9081059900917583
a10 = 0.49857895490787735
E_2 = 0.1036905162885735
```